E16実験におけるKK対測定の検討

理研·先端中間子研究室 佐久間 史典

- physics motivation (ゥパズルについて)
- KEK-PS E325実験でのKK対測定とその結果
- J-PARC E16実験でのKK対測定
- まとめ

Physics Motivation

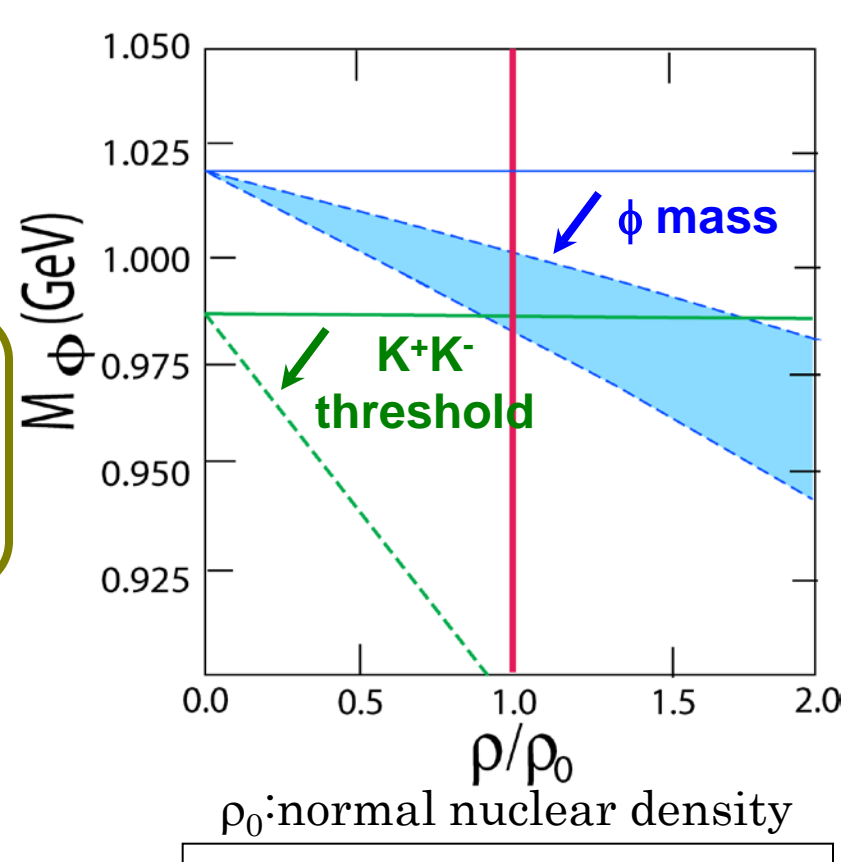
Vector Meson, o

- ●予想される質量の減少
 - **→ 20-40MeV/c²** @ $\rho = \rho_0$
- ●狭い崩壊幅 (Γ=4.3MeV/c²)
 - → 質量スペクトラムの変化に敏感
- ●小さい崩壊Q値 (Q_{K+K-}=32MeV/c²)



非常に簡単な例として、

- ■♦の質量が減少
 - $\rightarrow \Gamma_{\phi \rightarrow K+K}$ は小さくなる
- ■Kの質量が減少
 - $\rightarrow \Gamma_{\phi \rightarrow K+K}$ -は大きくなる



φ: T.Hatsuda, S.H.Lee, Phys. Rev. C46(1992)R34.

K: H.Fujii, T.Tatsumi, PTPS 120(1995)289.

Vector Meson, o

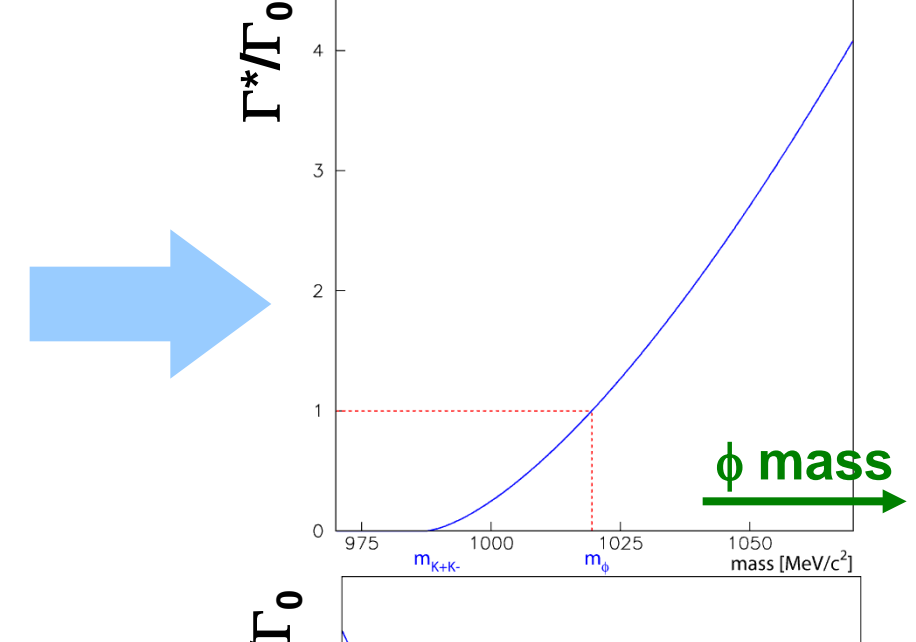
J.D.Jackson, Nuovo Cimento 34, 1644 (1964).

m₀が変化

$$\Gamma^* / \Gamma_0 = (q/q_0)^3 (m_0/m^*)$$

$$q = \sqrt{m^{*2}/4 - m_K^2}$$

$$q_0 = \sqrt{m_0^2/4 - m_K^2}$$

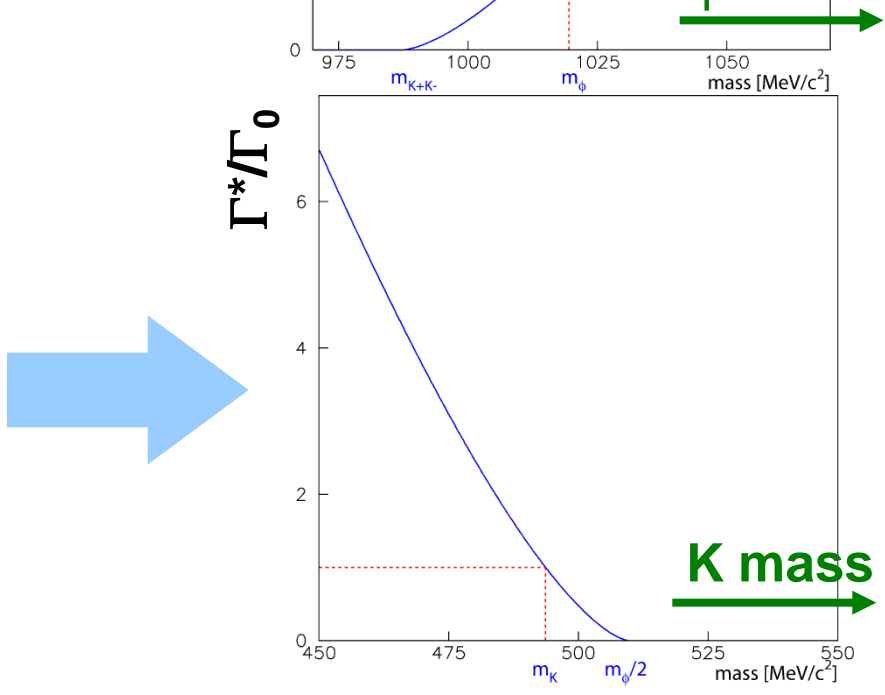


m_Kが変化

$$\Gamma^* / \Gamma_0 = (q/q_0)^3$$

$$q = \sqrt{m_0^2 / 4 - m_K^{*2}}$$

$$q_0 = \sqrt{m_0^2 / 4 - m_K^2}$$



核物質中でのφまたはKのスペクトラル関数の変化によって、 φ→II/KKの崩壊幅が変化するのではないか?

theoretical predictions

- D.Lissauer and V.Shuryak, PLB253,15(1991).

□*(♦→KK)/□*(♦→Ⅱ) の増加

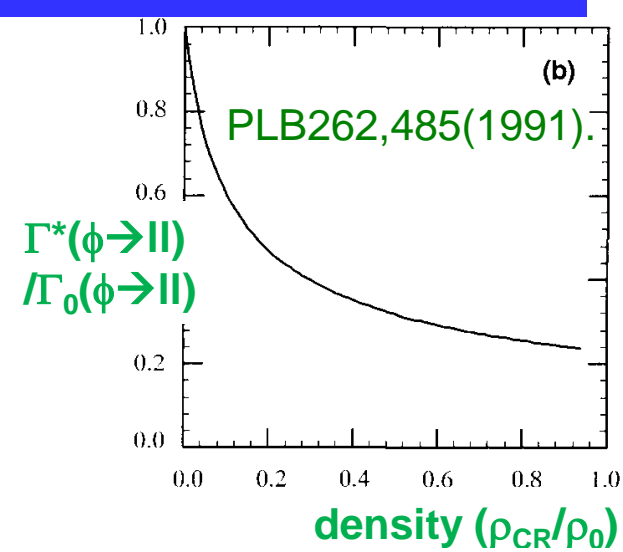
- P.-Z. Bi and J.Rafelski, PLB262,485(1991). 「*(Φ→KK)/[*(Φ→II) の増加

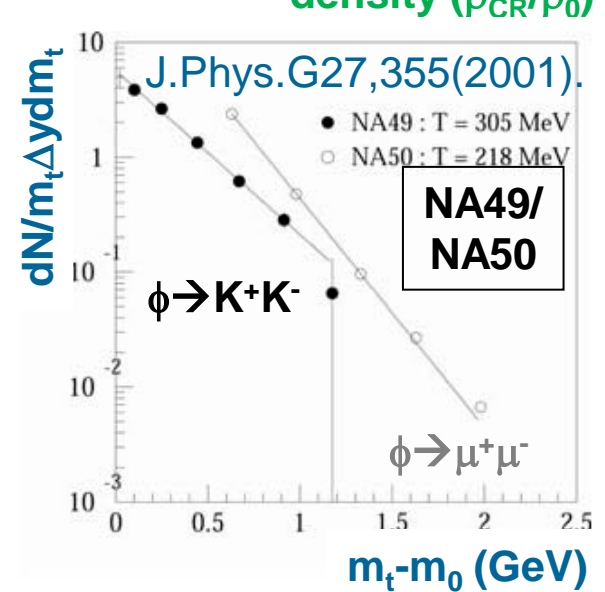
- J.P.Blaziot and R.M.Galain, PLB271,32(1991). 「*(φ→KK)/[*(φ→III) の減少

etc.

●NA49/NA50@CERN-SPS

- PLB491,59(2000).; PLB555,147(2003).;J.Phys,G27,355(2001).
- $-\phi\rightarrow K^+K^-/\mu^+\mu^-$, 158AGeV Pb+Pb
- production CS's are <u>inconsistent</u>





Hot Matter

●CERES(NA45)@CERN-SPS

- PRL96,152301(2006).
- $-\phi \rightarrow e^+e^-/K^+K^-$, 158AGeV Pb+Au
- production CS's are <u>consistent</u>

●PHENIX@BNL-RHIC

- EPJ,A31,836(2007).
- $-\phi \rightarrow e^+e^-/K^+K^-$, sqrt(s_{NN})=200GeV Au+Au
- production CS's are consistent

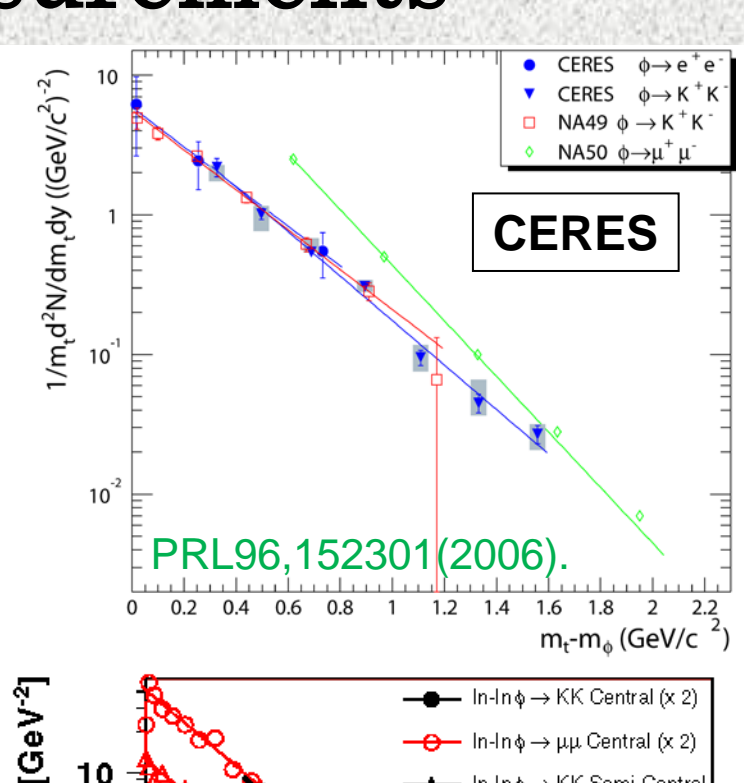
●NA60@CERN-SPS

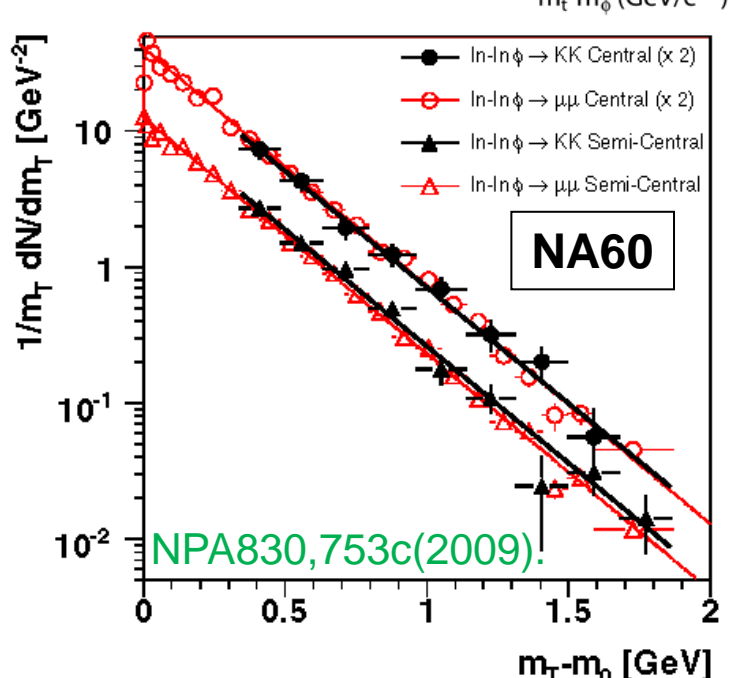
- NPA830,753c(2009).
- $-\phi \rightarrow \mu^+\mu^-/K^+K^-$, 158AGeV In+In
- production CS's are <u>consistent</u>

Cold Matter

●E325@KEK-PS

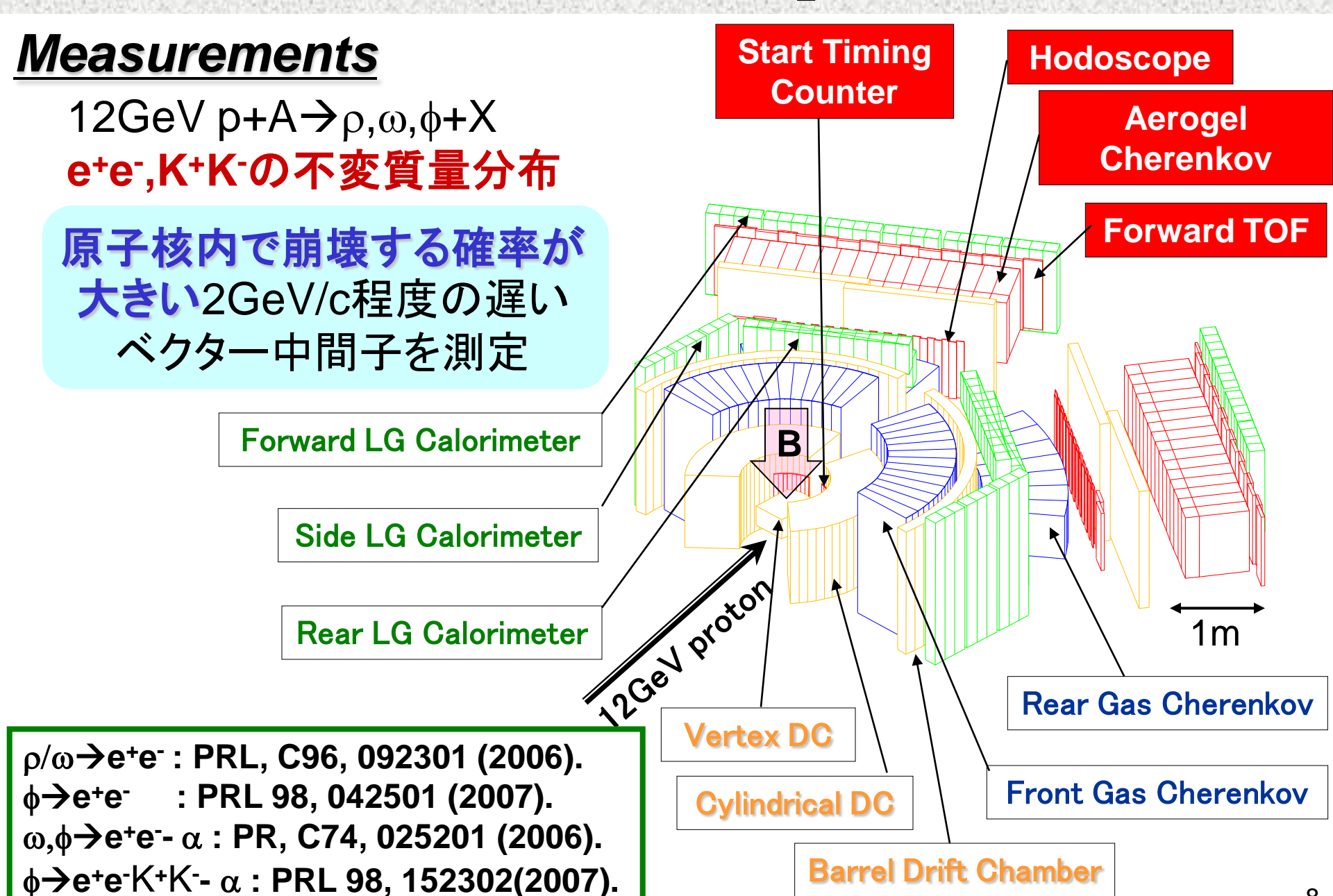
- PRL98, 152302(2007).
- $-\phi \rightarrow e^+e^-/K^+K^-$, 12GeV p+C/Cu



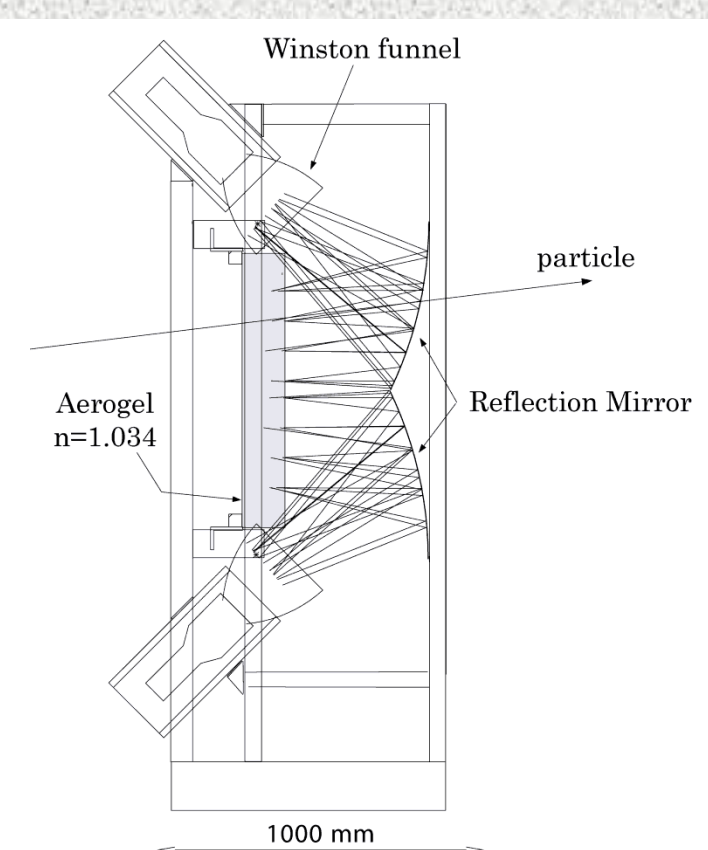


KEK-PS E325実験での KK対測定

KEK-PS E325 Experiment

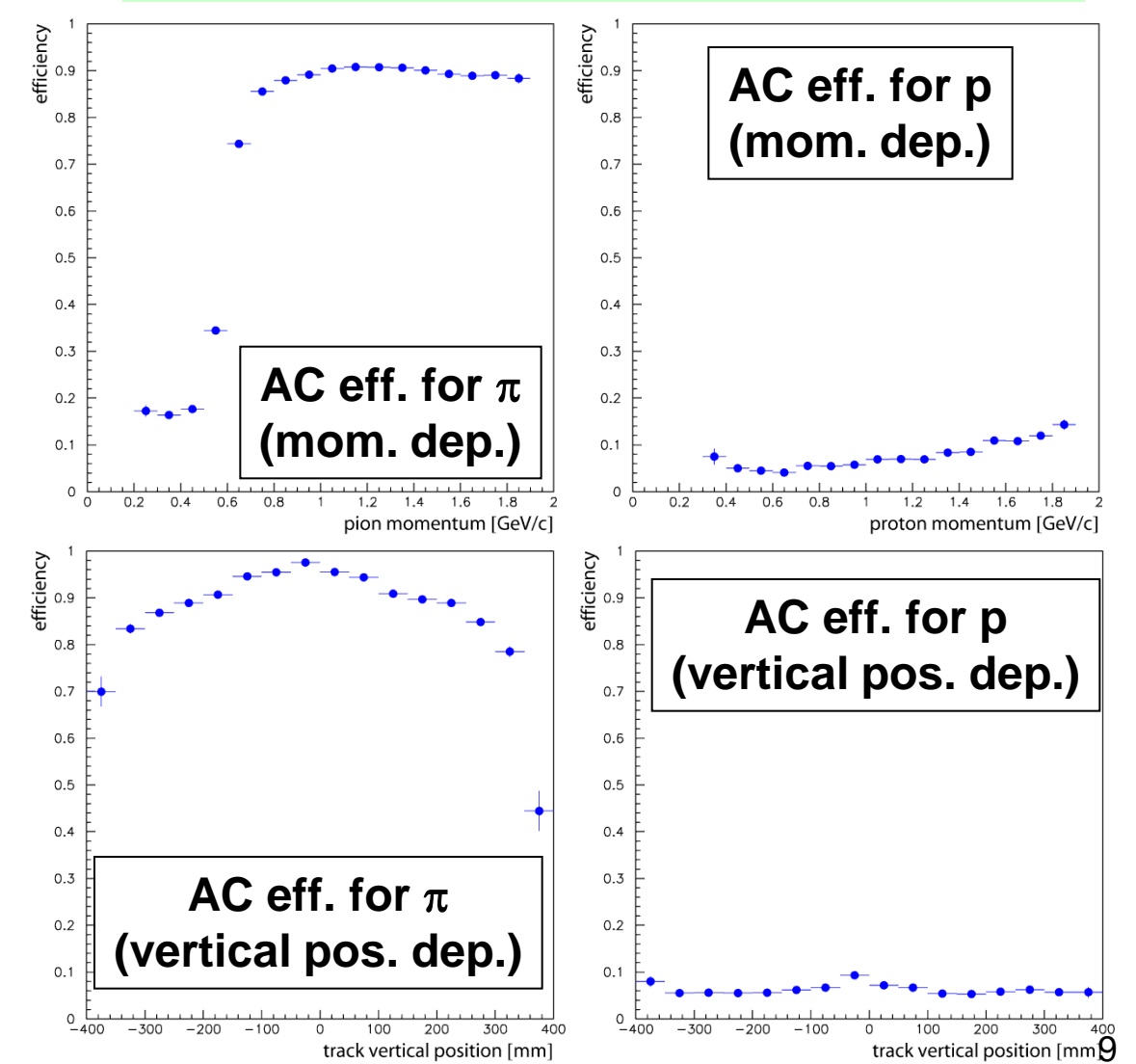


Kaon ID



- •12.5cm Aerogel
- •5 inch PMT (H6527)

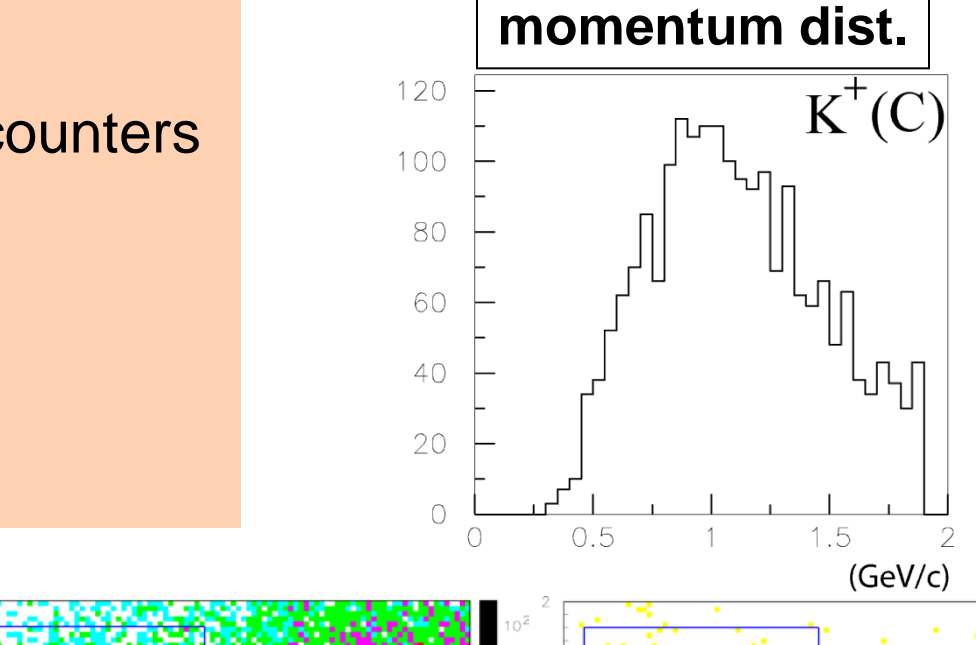
To trigger kaons, AC (n=1.034) was used $\rightarrow \pi$,K threshold = 0.53,1.88 GeV/c pion rejection of AC ~ 1x10⁻²
@ 1.4GeV/c, threshold = 1.1p.e.

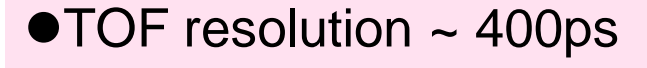


Kaon ID (Cont'd)

kaon ID cut

- ✓ position matching in TOF counters
- √ without hits in AC
- **✓TOF** cut
- √ mass square cut
- √momentum < 1.9GeV/c
- √ K⁺ and K⁻ in one arm





•kaon purity (%)

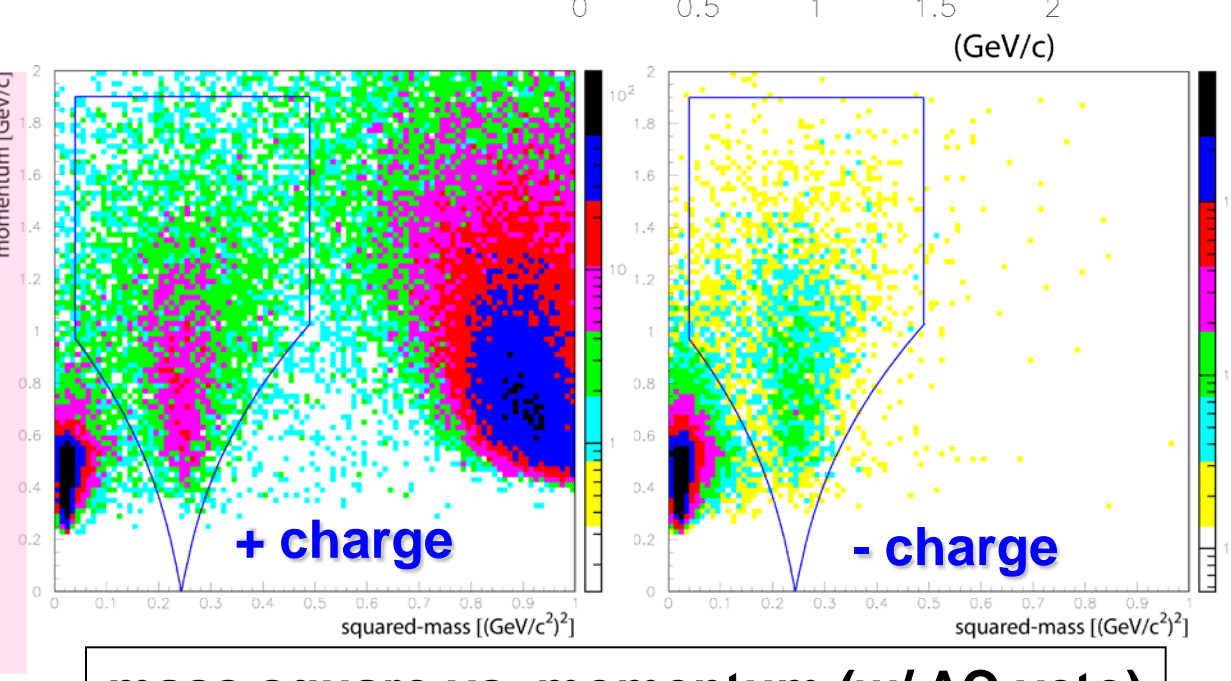
K+: 93.4 +/- 3.4 +/- 0.6

K⁻: 91.7 +/- 3.7 +/- 0.5

K+K-: 85.6 +/- 4.7 +/- 0.7

Kaon ID efficiency (%)

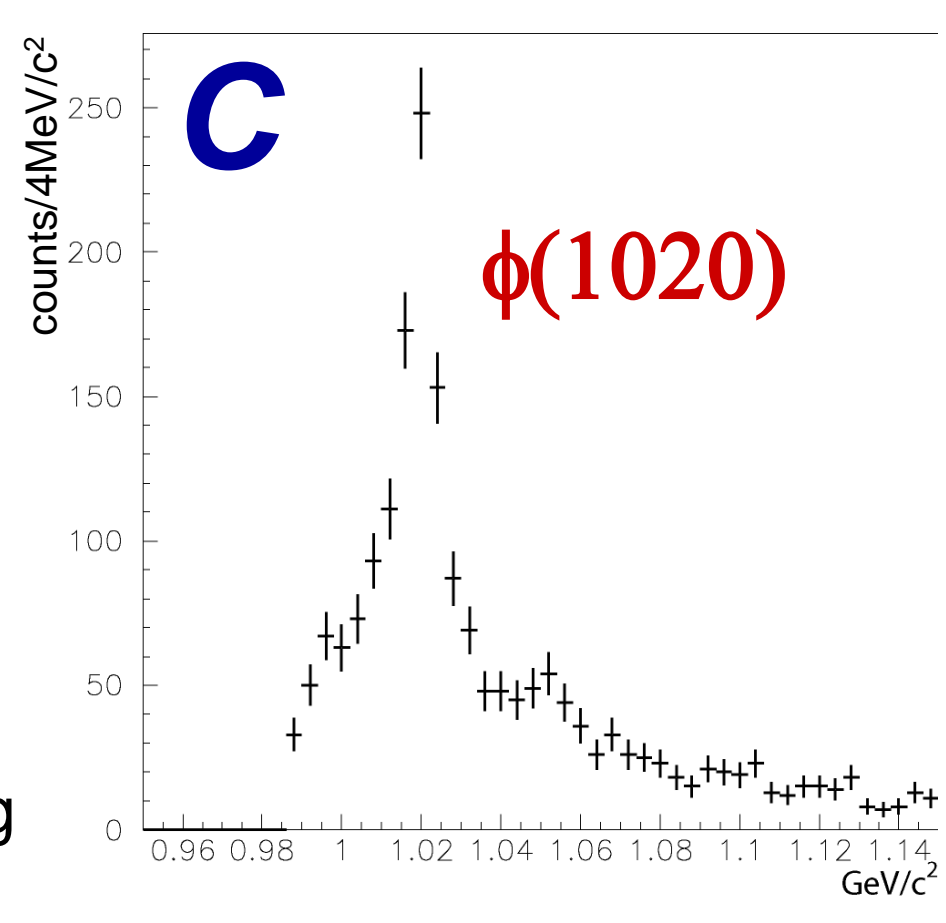
 → K⁺K⁻: 87%



mass square vs. momentum (w/ AC veto)

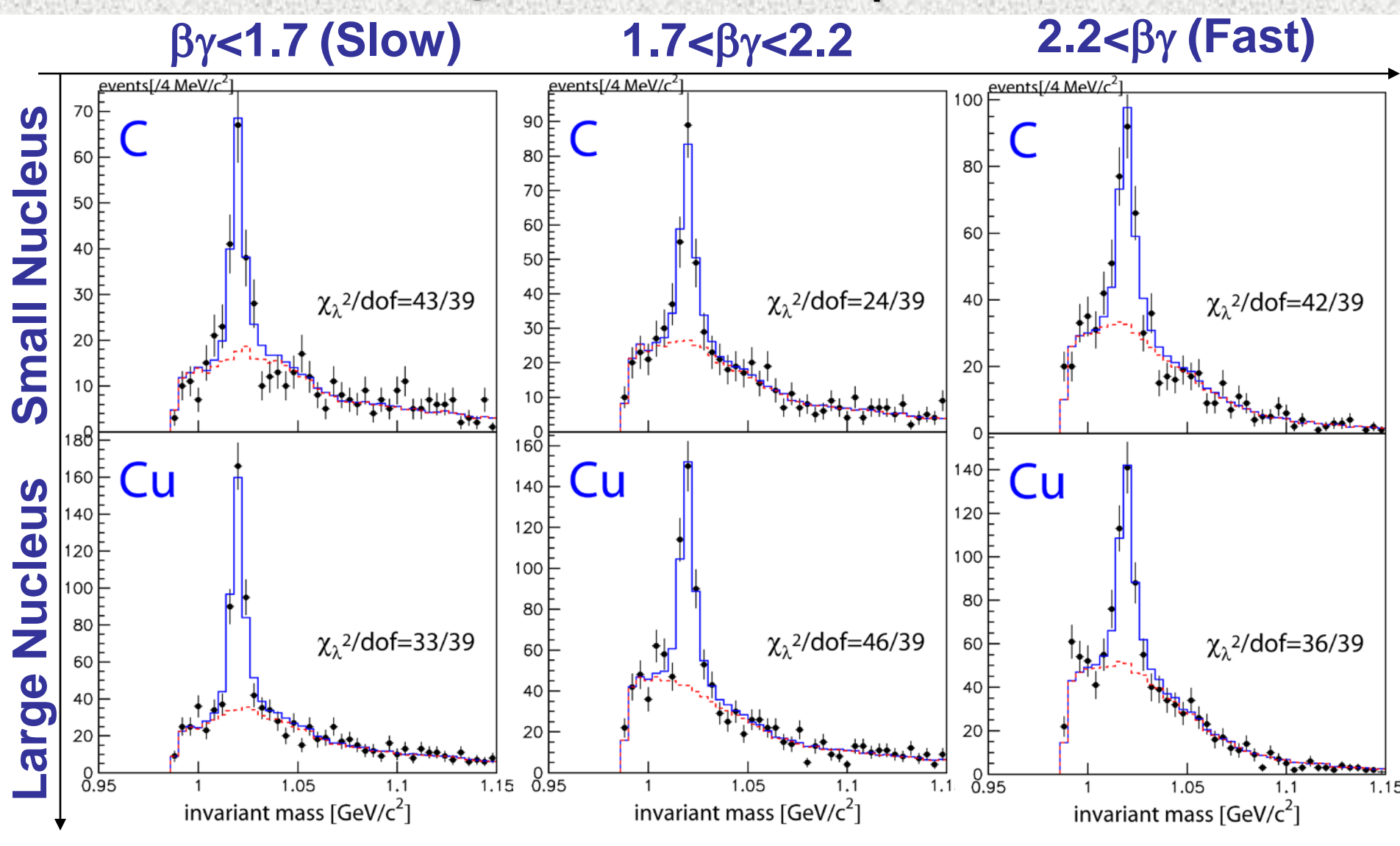
φ→K+K⁻ Invariant Mass Spectra

- ●2001 run data
- C & Cu targets
- acceptance uncorrected
- •fit with
 - simulated mass shape of \(\phi \)
 - combinatorial background obtained by the event mixing method



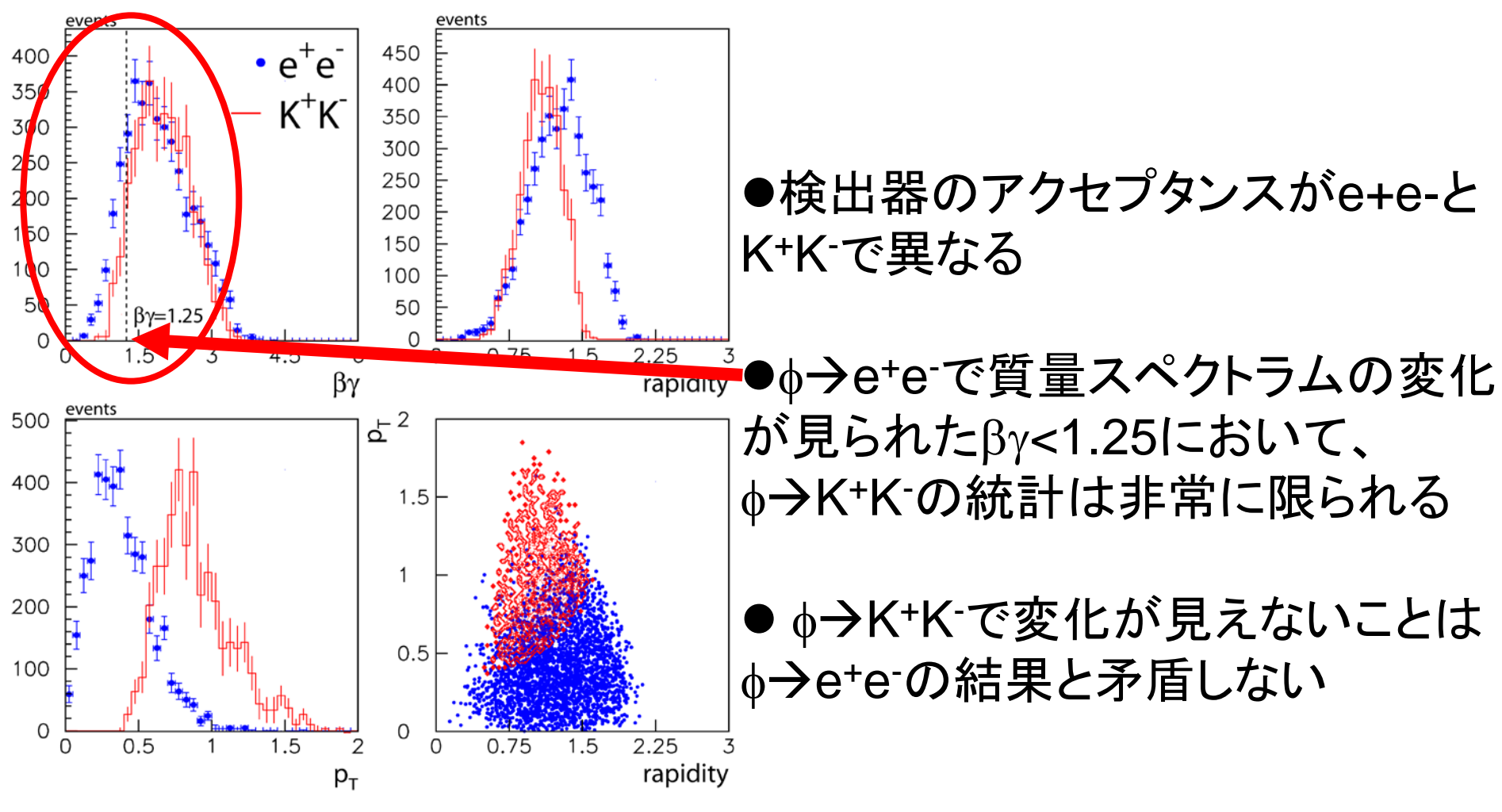
 \rightarrow examine the mass shape as a function of $\beta\gamma$

Fitting Results of $\phi \rightarrow K^+K^-$



質量スペクトラムの変化は統計的に有意ではない

Kinematical Distributions of observed ϕ



注: ♦→K+K- は3倍してある

$\Gamma_{\phi \to K+K}$./ $\Gamma_{\phi \to e^+e^-}$ and Nuclear Mass-Number Dependence α

- ●大きなsyst.err.により、e+e-/K+K-の微妙なcross-sectionの違いは見づらい
- ●大部分のsyst.err.はターゲットにかかわらず共通
 - →原子核依存性αを用いる事により、syst.err.からの影響を減らす事が出来る

$$\sigma(A) = \sigma_0 \times A^{\alpha}$$

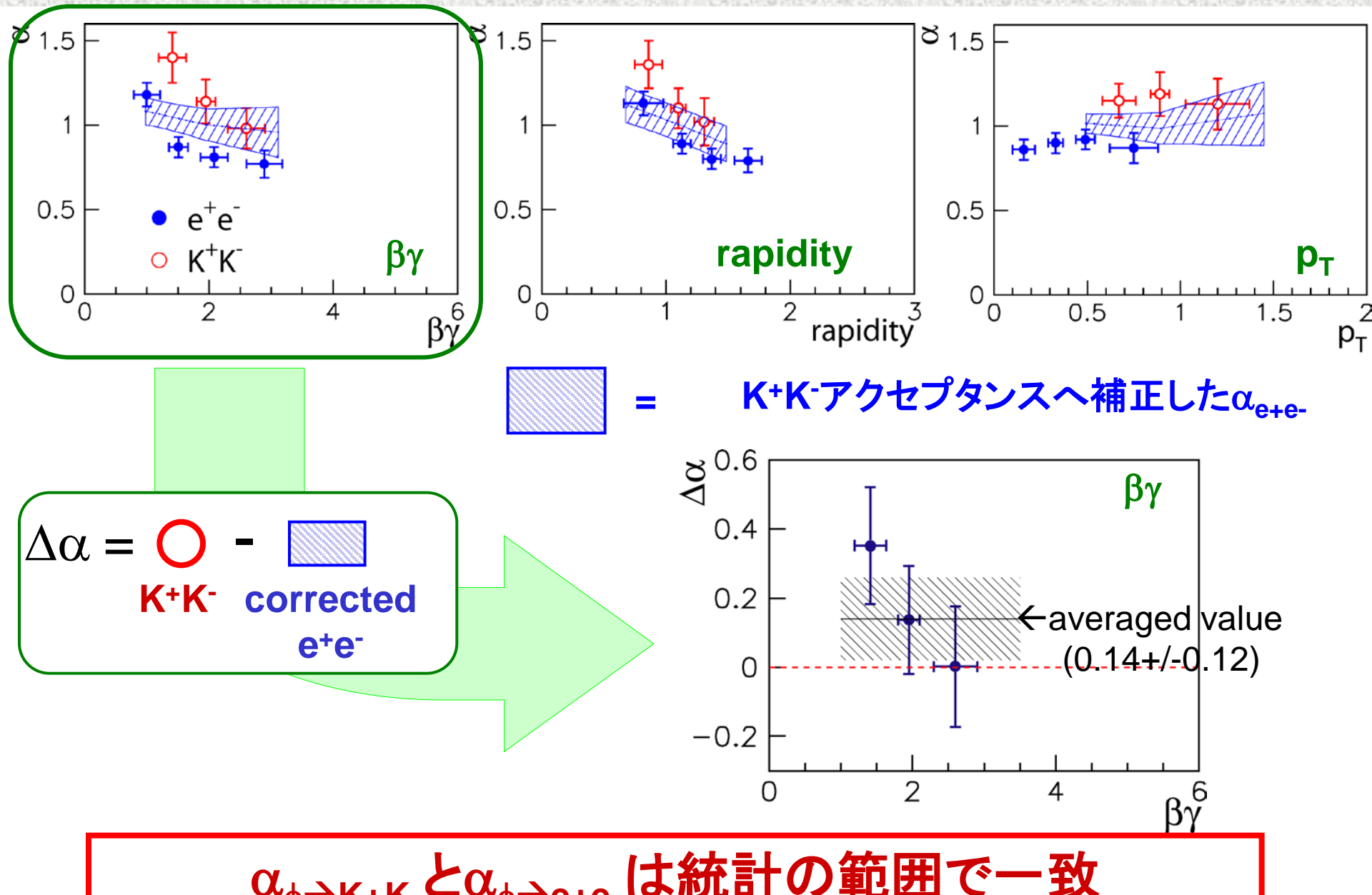
- ●Γ_{φ→K+K-}/Γ_{φ→e+e-} が原子核中で大きくなる場合を考える
 - → 測定される $N_{\phi \to K+K-}/N_{\phi \to e+e-}$ が大きくなる
- ●大きな原子核において、このような効果が大きくなる

$$\Delta \alpha = \alpha_{\phi \to K^{+}K^{-}} - \alpha_{\phi \to e^{+}e^{-}}$$

$$= \ln \left[\frac{N_{\phi \to K^{+}K^{-}}(A_{1})}{N_{\phi \to e^{+}e^{-}}(A_{1})} \middle/ \frac{N_{\phi \to K^{+}K^{-}}(A_{2})}{N_{\phi \to e^{+}e^{-}}(A_{2})} \right] \middle/ \ln (A_{1}/A_{2})$$

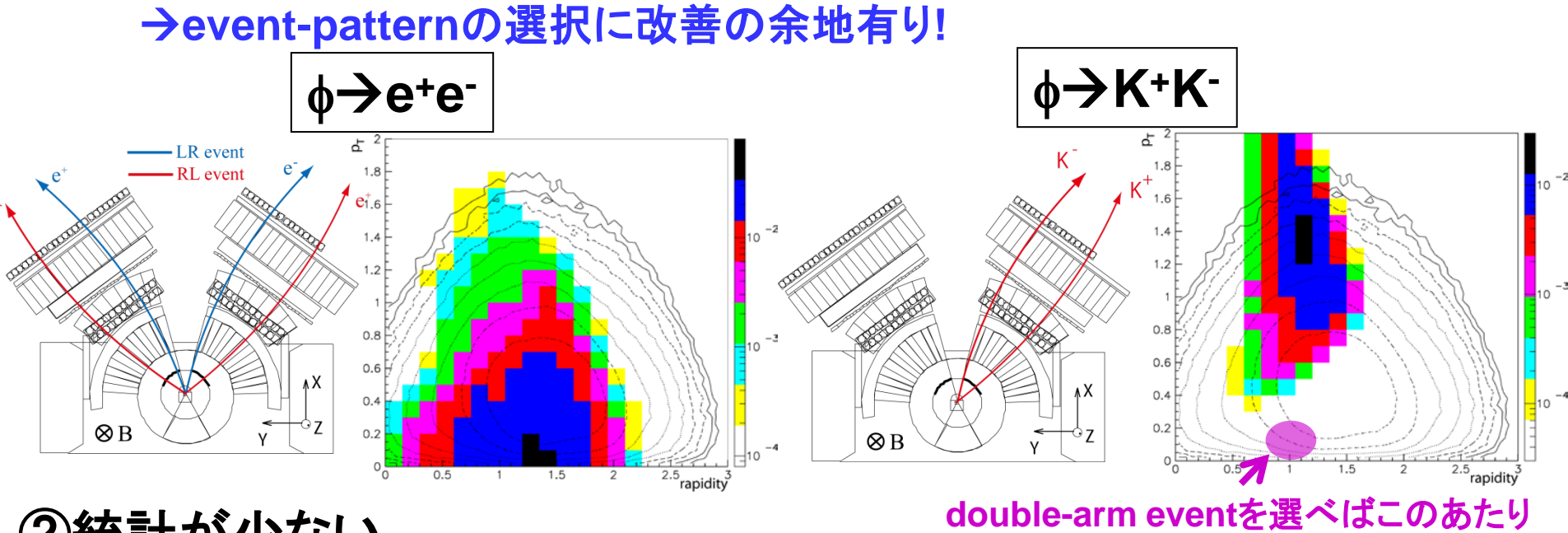
- ●α_{Φ→K+K}-はα_{Φ→e+e}-より大きくなる
- ●このαの違いは、遅く動くφ中間子において顕著になる

Results of Nuclear Mass-Number Dependence a



E325実験でのKK対測定の問題点

①e+e-とK+K-でアクセプタンスが大きく異なる



②統計が少ない

→KK-triggerの改善の余地有り!

1st-level: 58k/spill → 1/50 pre-scale → 0.8k/spill → 2nd-level: 0.5k/spill AC-veto & matrix-coincidence Kaon-mass trigger

最終的には2x10⁸ eventのKK-trigger (~1 month, ee/KK-tirgger) → ~5kのK+K-、~1.3kのφ→K+K-

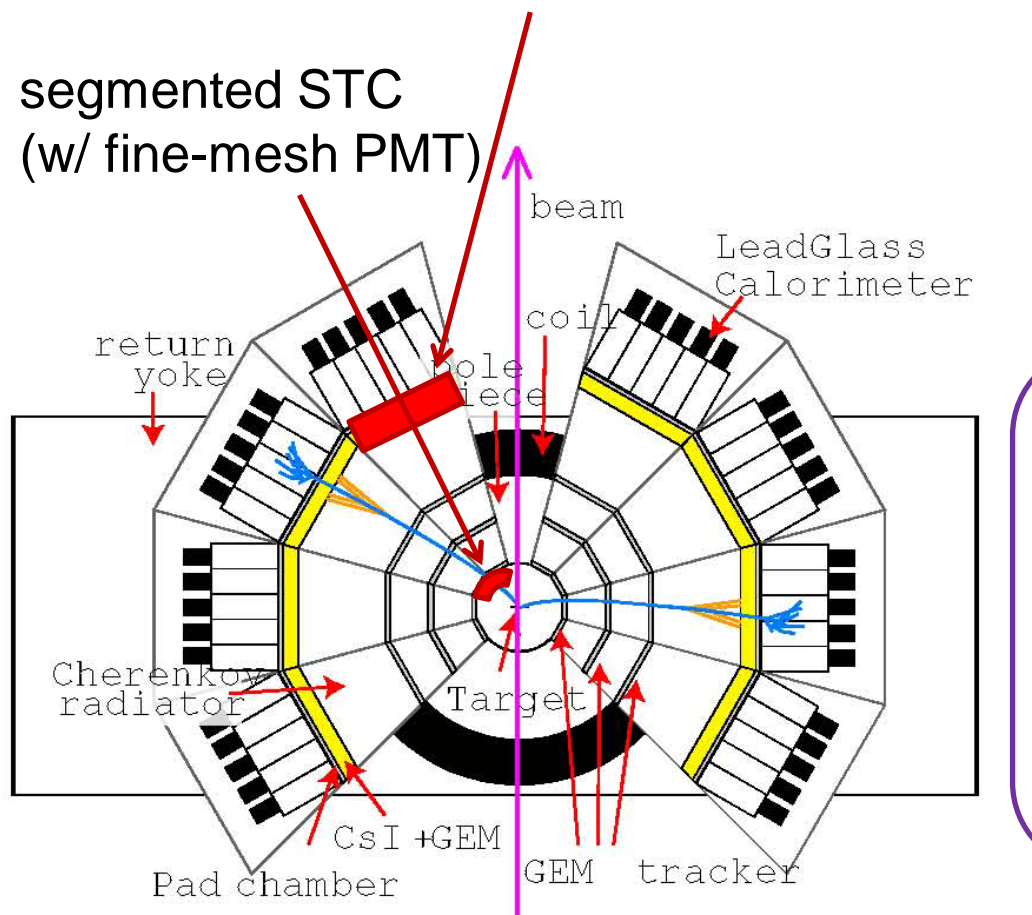
E16実験にてこれらの問題を克服する必要がある!!!

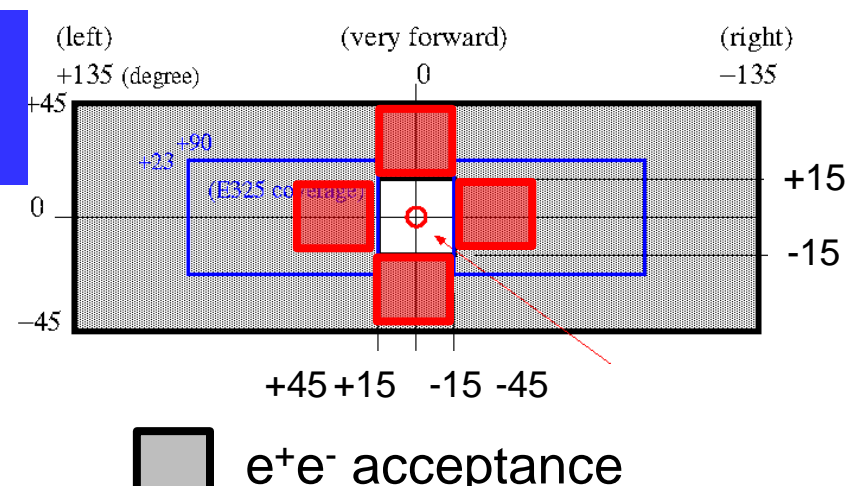
J-PARC E16実験での KK対測定

Forward Kaon Spectrometer

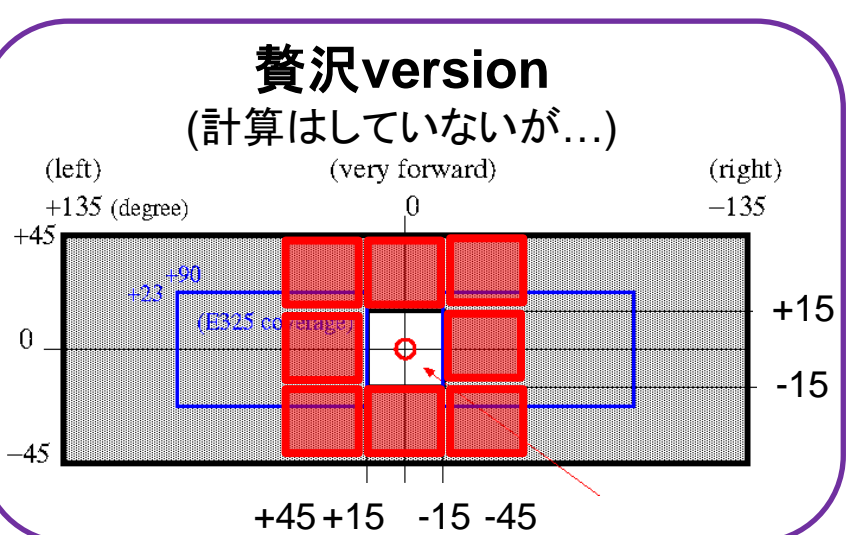
LGとHBDの間の狭いスペース (~10cm)にどう入れるのかが鍵となる

AC(n=1.034) w/ SiAPD or fine-mesh PMT + TOF counter (RPC or plastic-scintillator)



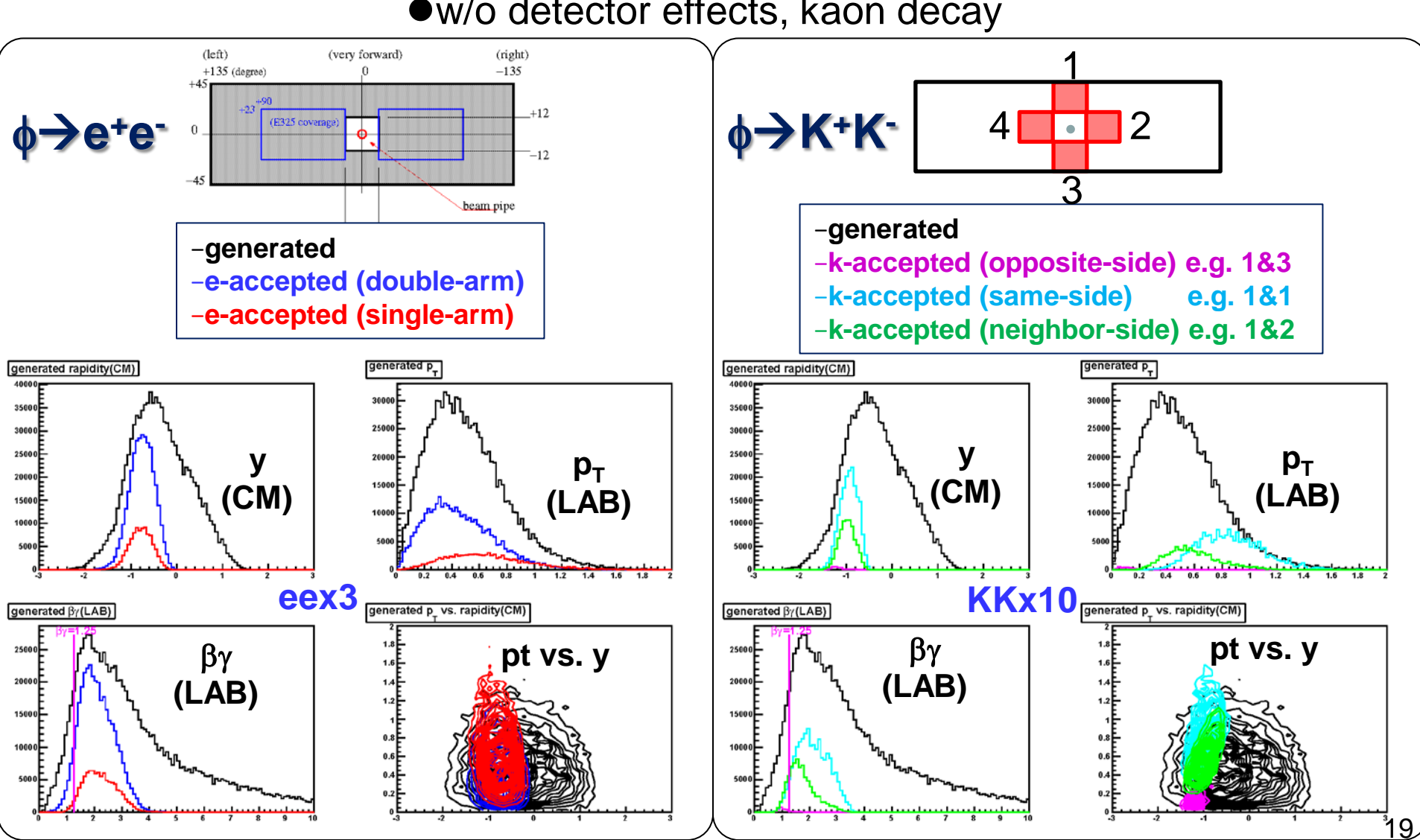


K+K- acceptance

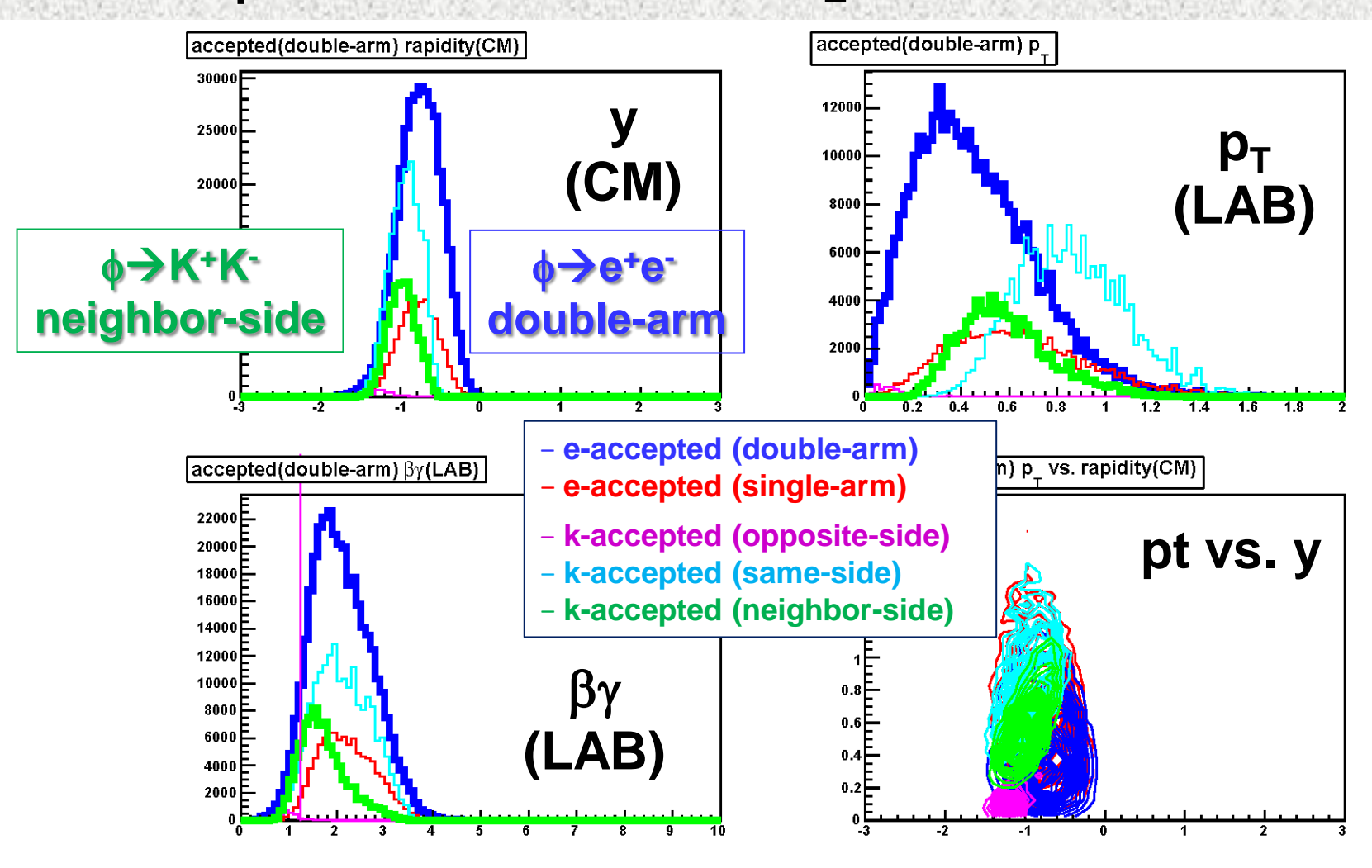


$\phi \rightarrow e^+e^-/K^+K^-$ acceptance

- Simple Monte-Carlo Study
- ●30GeV/c proton + Copper
- w/o detector effects, kaon decay



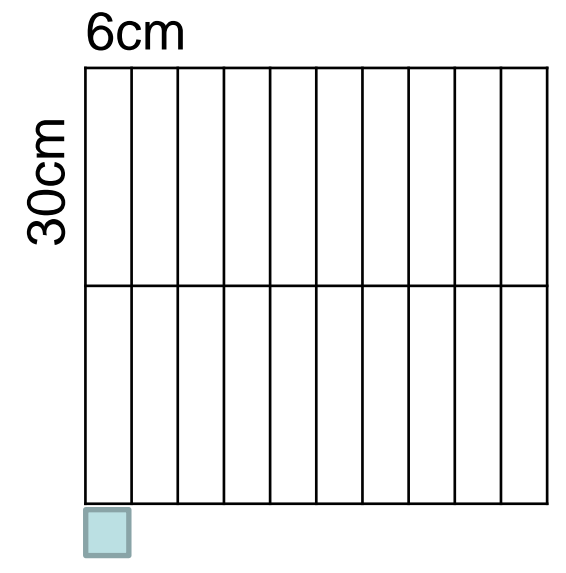
$\phi \rightarrow e^+e^-/K^+K^-$ acceptance (Cont'd)



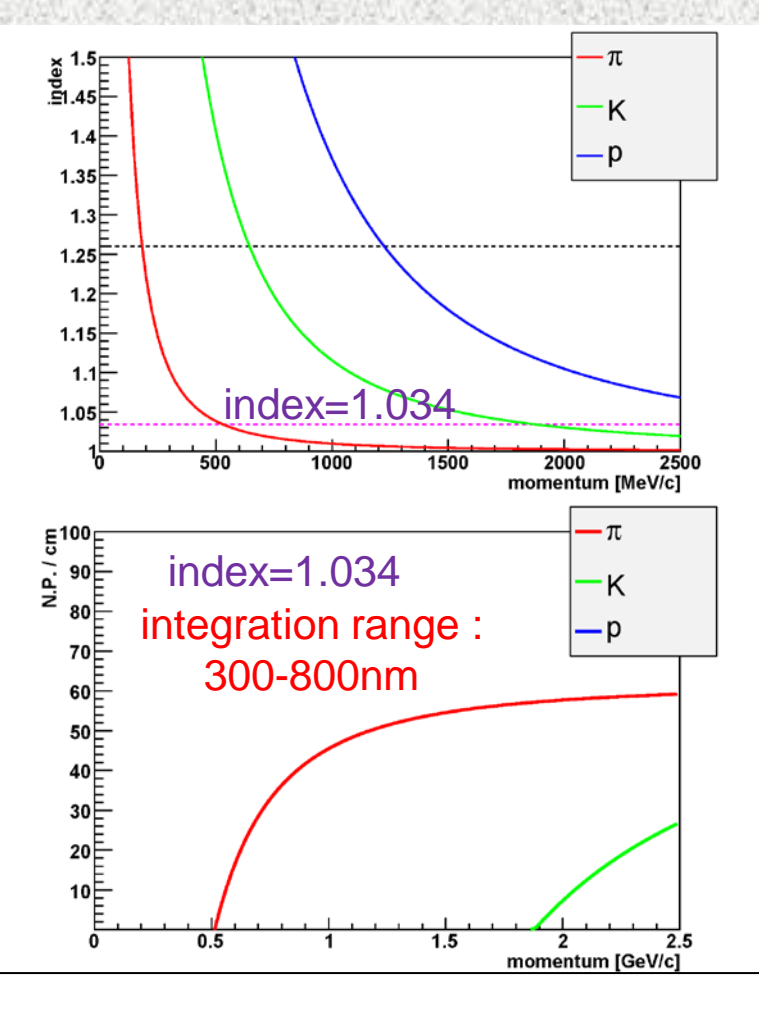
2つのセクションでKを要求することによって、∮→e+e-/K+K-のアクセプタンスをある程度そろえることが出来る(青/緑)

Aerogel Cherenkov Counter

- ●E325と同じ、n=1.034を使用
- ●AC厚み: ~3cm--.SiAPD, ~10cm→PMT
- ●60x60cmを下記のように10x2分割



SiAPD (S8664) or fine-mesh PMT



調べること

- □長手方向30cmで本当に読み出せるか?
- □どれくらいのphoto-electron稼げるか?
- □だめなときは6x15cm程度に小分け(10x4分割)して、裏から読み出せるか?→ spaceの都合上SiPADを用いる(要温度調整機構)

KK-trigger

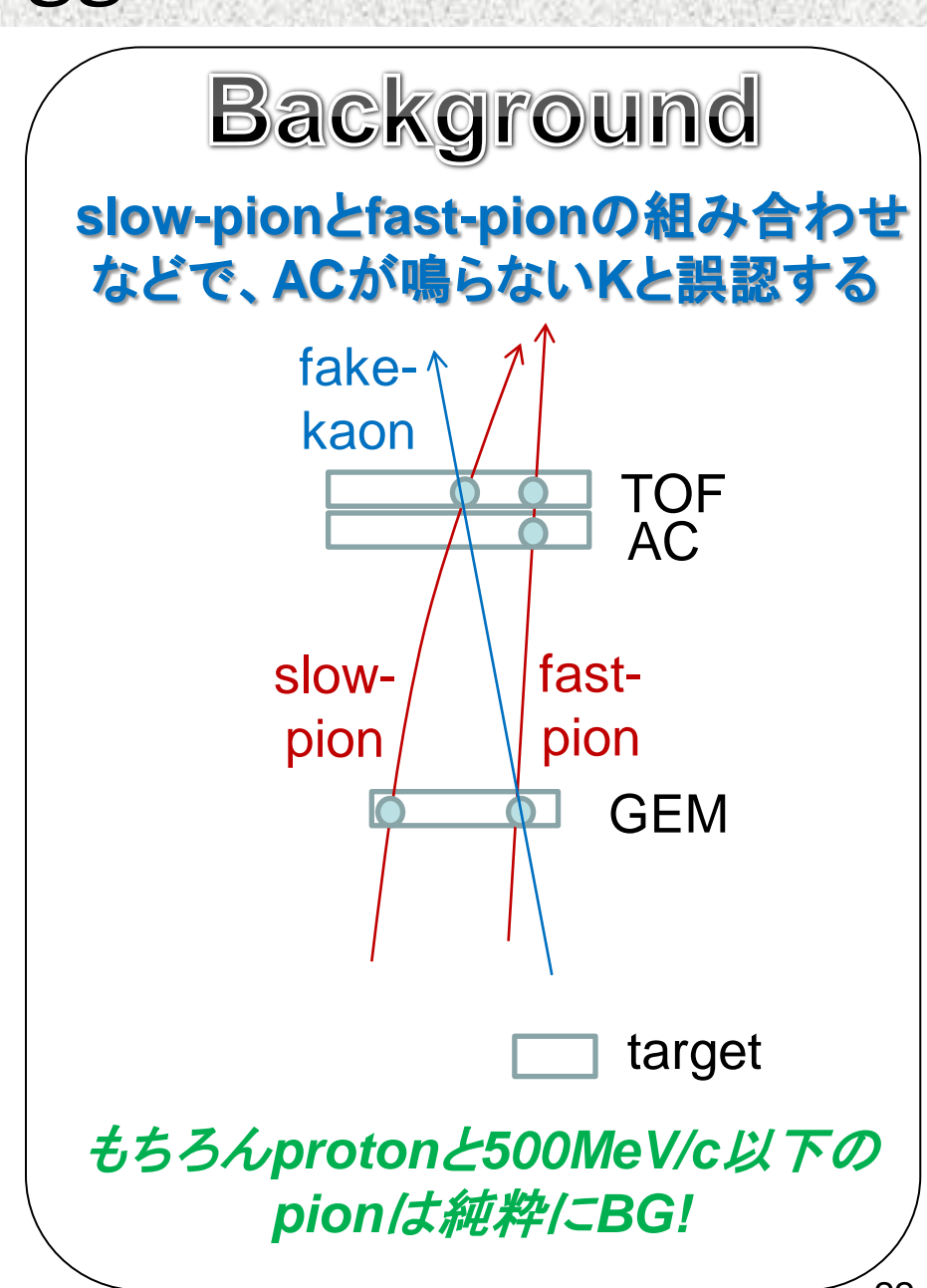
Trigger Scheme

- ●GEM-tracker中層のhit情報と、
- AC/TOFでmatrixを組む
- ●2つのセクションでKを要求

 →reduction of miss-trigger
- ●(ee-triggerは基本double-arm)

<u>point</u>

- ▶どれだけBGを落とせるか?
- ▶2nd-levelを用いないで"賢い"
- KK-triggerを作れるか?
- ■Monte-Carloを用いた定量的なstudyを始めたばかり。
- ■KK-triggerは難しいが、E325 と同レベルの物(trigger,統計)で もアクセプタンスの改善により楽 しい物理は引き出せる!!!



まとめ

Summary

- ●J-PARC E16実験は通常原子核密度下における中間子質量への核物質効果を検証する目的で行われる。
- ●E16の先行実験であるKEK PS-E325では、♠→e+e-/K+K-でそのアクセプタンスが大きく異なったために、通常原子核密度下での"♠パズル"を解き明かすヒントを得るにとどまった。
- ●E16実験に新たにK+K-スペクトロメーターを組み込み、♠→e+e/K+K-のアクセプタンスをそろえた上で、引き続き通常原子核密度下での"фパズル"の探求を行う。
- ●申請している課題研究においては
 - ▶エアロゲル検出器のプロトタイプ開発
 - ▶効率の良いK+K⁻-trigger開発
- の2点に絞って研究を進めていく。

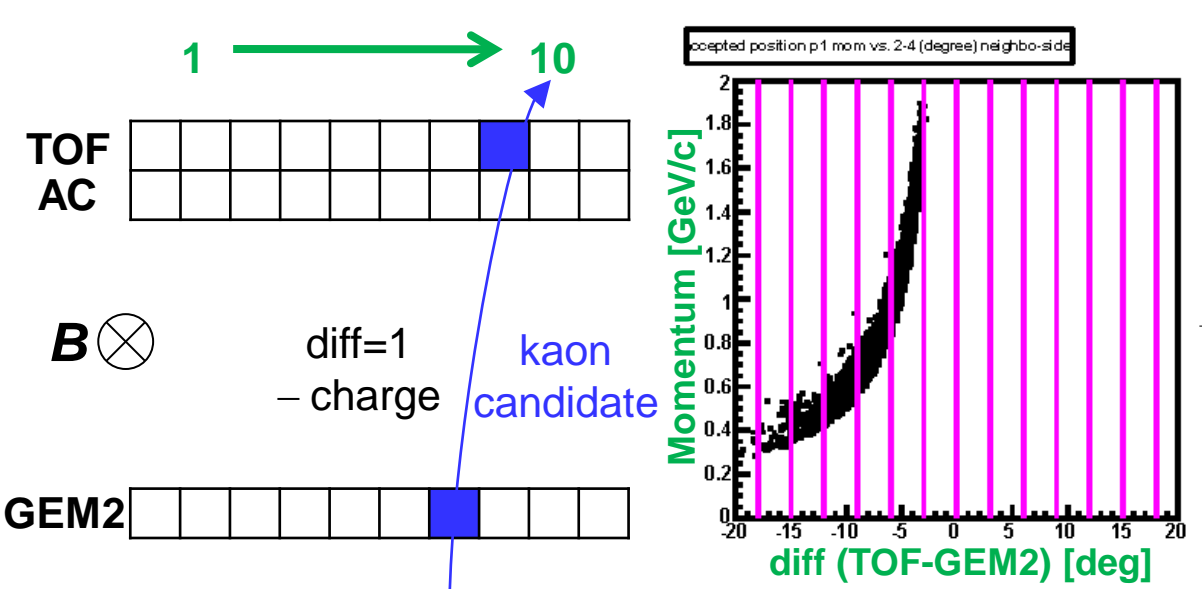
Backup

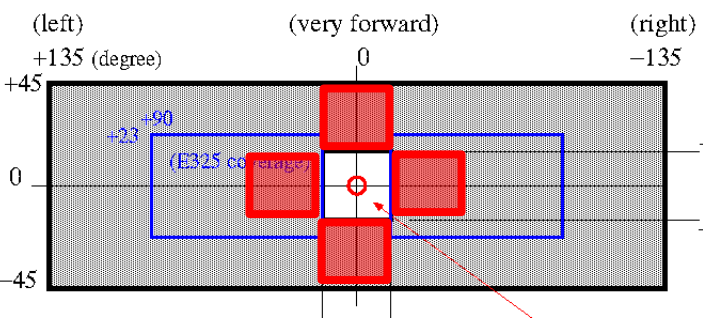
KK-trigger Scheme

- ① TOF(r=120cm)にhitが有り、直前の ACにhitが無いパターンを探す
- ② GEM-tracker2層目(r=40cm,横方向に10分割)のhitを探し、そのhit-segmentの差diffを求める
- ③ このときdiffの符号によりchargeを求める
- ④ 2-sectionで以上のhitを要求し、さら にchargeが+/-両方あることを要求 する

JAM (nuclear cascade code) を用いた
30GeV/c p+Cu reactionでは、4x10-3のevent rejection-powerを確認
→ 10⁶ interactionで4x10³

trigger





- ●2-sectionでkaon-candidate
- ●+/- 両方あること

Discussion on $\Gamma_{\phi \to K+K}$ and $\Gamma_{\phi \to e+e}$

崩壊幅の変化の上限を導く

2つの手法を用いて上限を求めていく

- A) $\Gamma_{\phi \to K+K-}$ と $\Gamma_{\phi \to e+e-}$ が核物質中で変化すると、 $\Delta \alpha$ が変化する 部分崩壊幅が変化したときの $\Delta \alpha$ の変化を計算し、データ ($\Delta \alpha = 0.14+/-0.12$)と比較することにより、 $\Gamma^*_{\phi \to K+K-}/\Gamma^*_{\phi \to e+e-}$ の上限を求めることが出来る
- B) e+e-のデータが示唆するように、核物質中でΓφが増えるとφ中間子のピークの左側にexcessが見えるはずである
 K+K-スペクトラムをe+e-解析と同様に解析することによりexcessの

K+K-スペクトラムをe+e-解析と同様に解析することによりexcessの数の上限値を出し、Γ*。の上限を求めることが出来る

理論予言

10倍程度までのbroadening (Klingl, Kaiser & Weise など)

Discussion on $\Gamma_{\phi \to K+K-}$ and $\Gamma_{\phi \to e+e-}$

●核内での崩壊幅は密度に比例して変化すると仮定

$$\Gamma_{\phi}^{*}/\Gamma_{\phi}^{0} = 1 + k_{\text{tot}}(\rho/\rho_{0}),$$

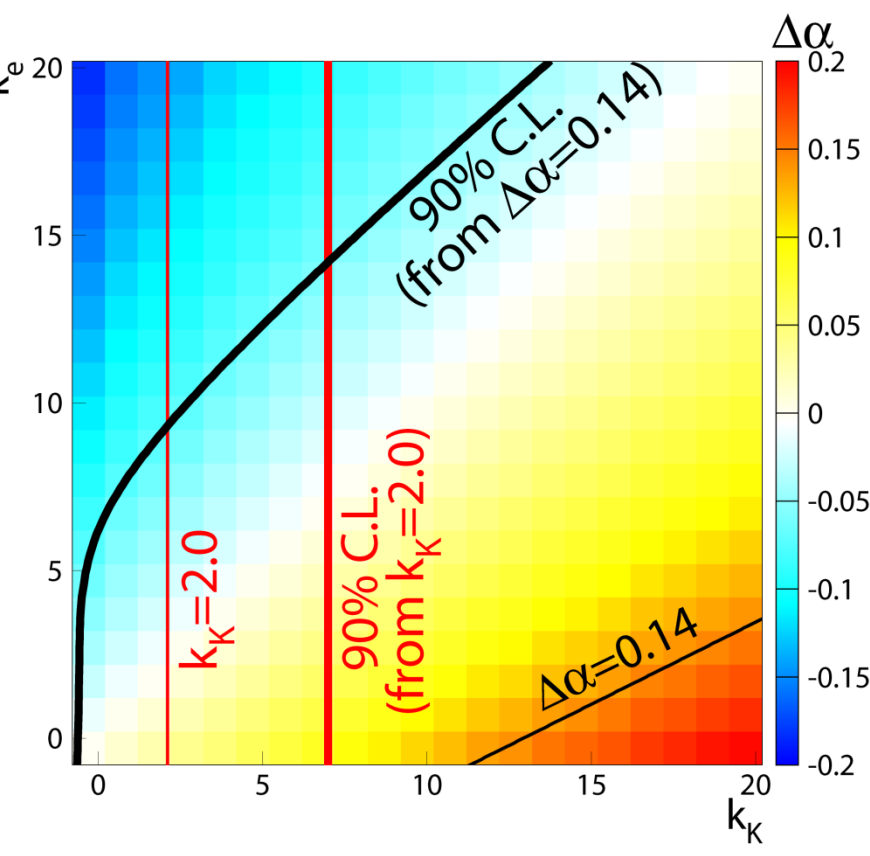
$$\Gamma_{\phi \to K^{+}K^{-}}^{*}/\Gamma_{\phi \to K^{+}K^{-}}^{0} = 1 + k_{K}(\rho/\rho_{0}),$$

$$\Gamma_{\phi \to e^{+}e^{-}}^{*}/\Gamma_{\phi \to e^{+}e^{-}}^{0} = 1 + k_{e}(\rho/\rho_{0})$$

ullet Γ_{ϕ} の変化率が $\Gamma_{\phi o K+K-}$ と等しいと仮定

$$k_{tot} \sim k_K$$

●前述のA),B)により(k_e,K_K)平面に2本の上限の線を引くことが出来る

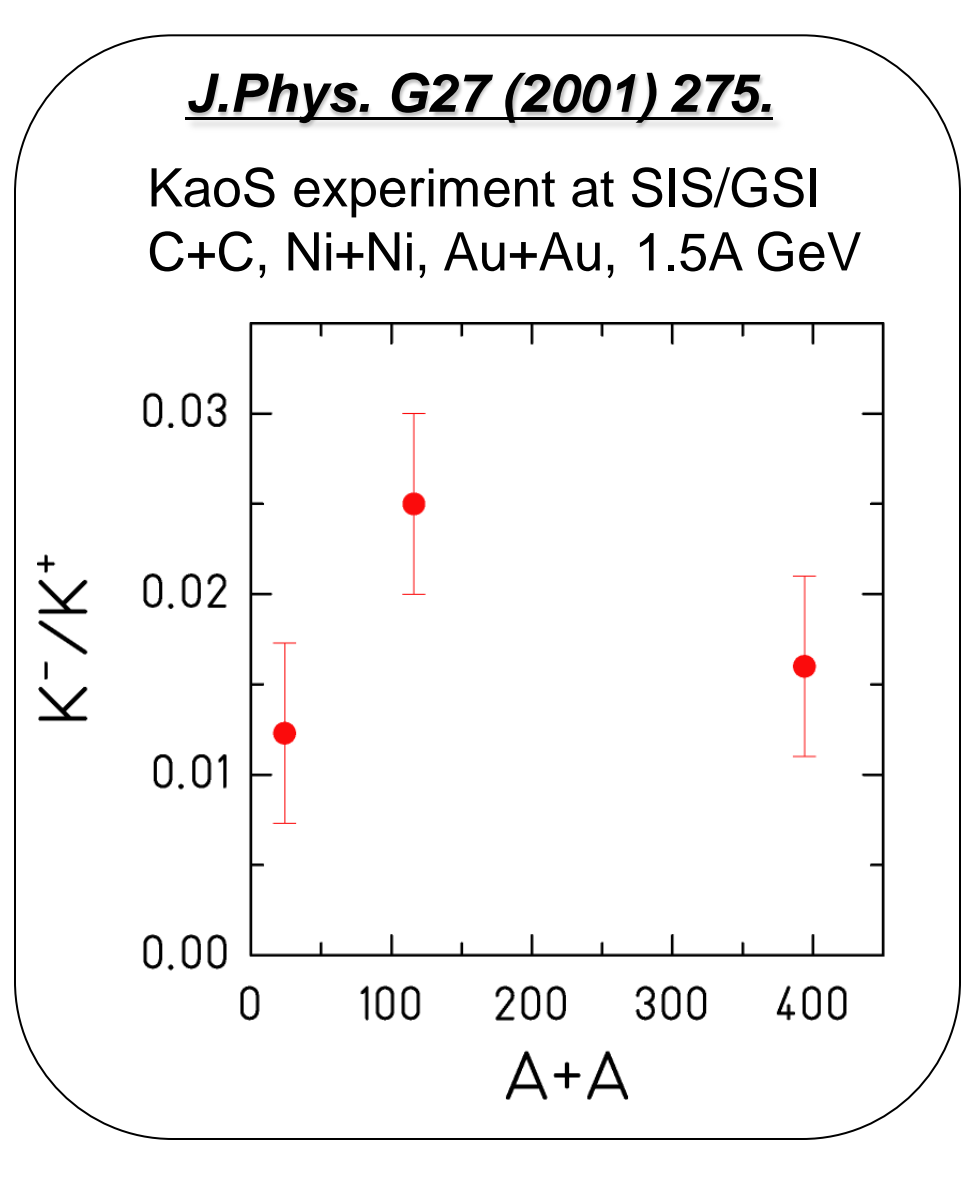


Γ*/Γ<0な領域を除くようにリノーマライ ズして得た90%C.L.

部分崩壊幅の核物質中でのbroadeningの上限値が、 実験的にはじめて得られた

70

Kaon Re-scattering from KaoS Results



K-のabsorption-ratioは原子核の大きさに よって異なるはずなのに、dataはほぼ一定 の値!

(mean free path of $K^- = 1.5 \text{fm}$)



geometrical-modelによると、AuはCに比べ、 $K^-N \rightarrow Y\pi(Y=\Lambda,\Sigma)$ は10倍以上大きい



もし、K-のeffective-massが小さくなると、 上述のprocessはsuppressされる

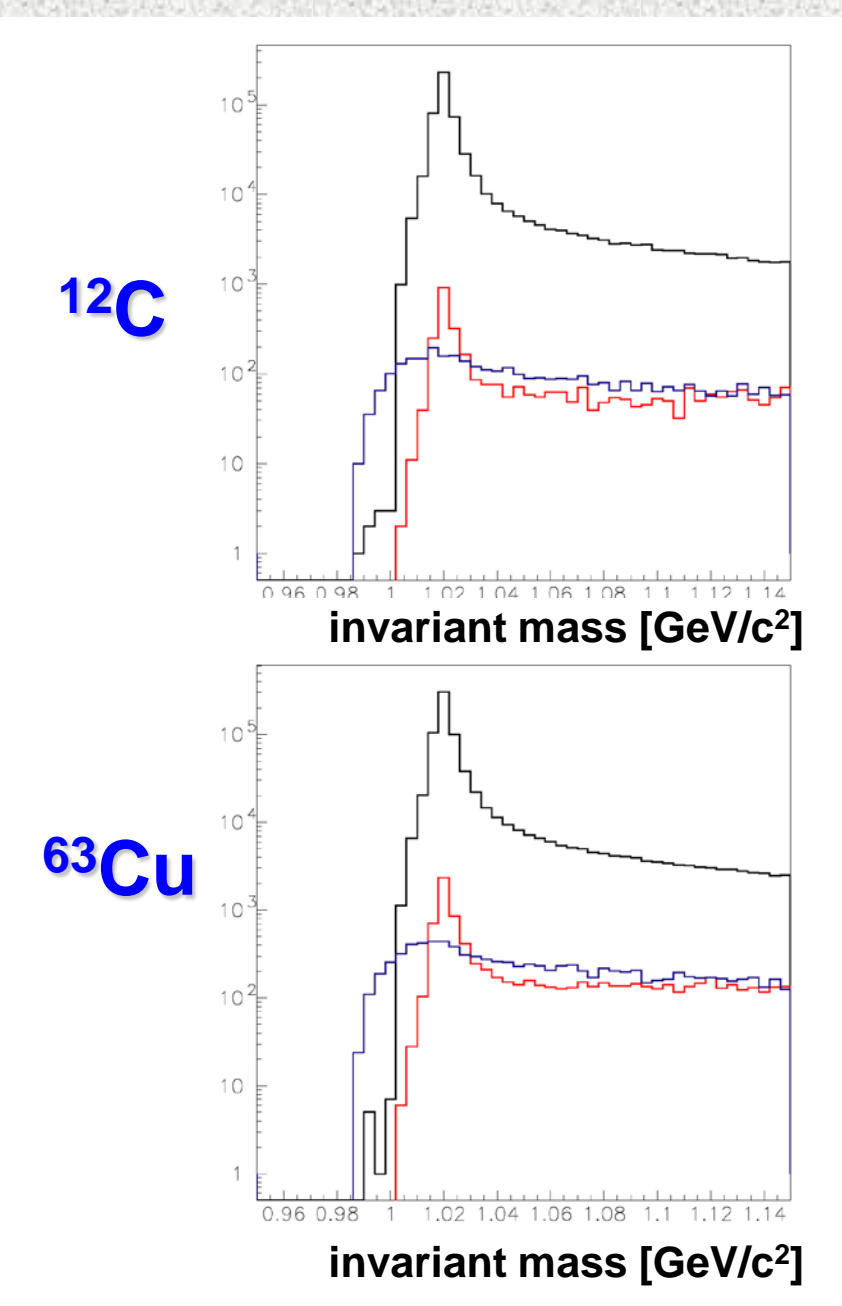


つまり、核物質効果によって"K⁻のeffective-massが小さくなった結果"

- >K⁻ productionがenhance
- >K⁻ absorptionがsuppress

されていると考えられる

Kaon Absorption / Rescattering from JAM Study



No detector effects

- all
- w/ rescattering before
- w/ rescattering after

[K⁺ or K⁻ absorbed] / [all $\phi \rightarrow K^+K^-$]

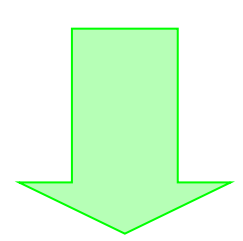
¹²C :: 1.4%

⁶³Cu :: 4.2%

[K⁺ or K⁻ rescattered] / [all $\phi \rightarrow K^+K^-$]

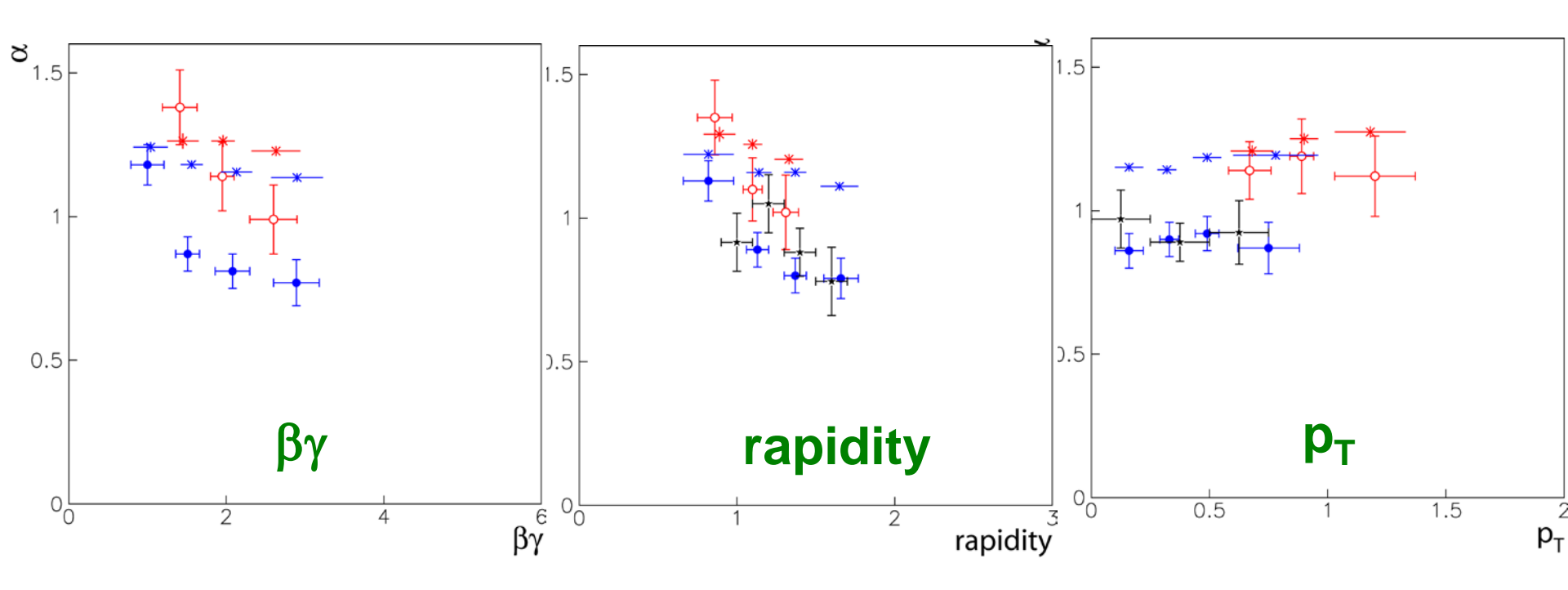
¹²C :: 1.3%

⁶³Cu :: 1.5%



- small effect on the mass shape
- •small effect on α ($\delta\alpha$ =-0.02)

Consistency Check for a



Inside-Nucleus Decay (=at ρ/ρ_0 >0.5) Probability for ϕ

w/o detector acceptance

φ-	>K +	K-	

\mathbf{A}	4	Δ-	-01
Ψ		C	

Γ_{tot}	C	Cu
X 1	0.01	0.03
X11	0.08	0.21
X21	0.14	0.33
x41	0.22	0.46

Γ_{ee}	x1	$\Gamma_{ m ee}$ x11			
С	Cu	C	Cu		
0.01	0.03	1	1		
0.01	0.03	0.08	0.21		
0.01	0.03	0.08	0.21		
0.01	0.03	0.08	0.21		

$\Delta\alpha$ for Mass-Shifted ϕ

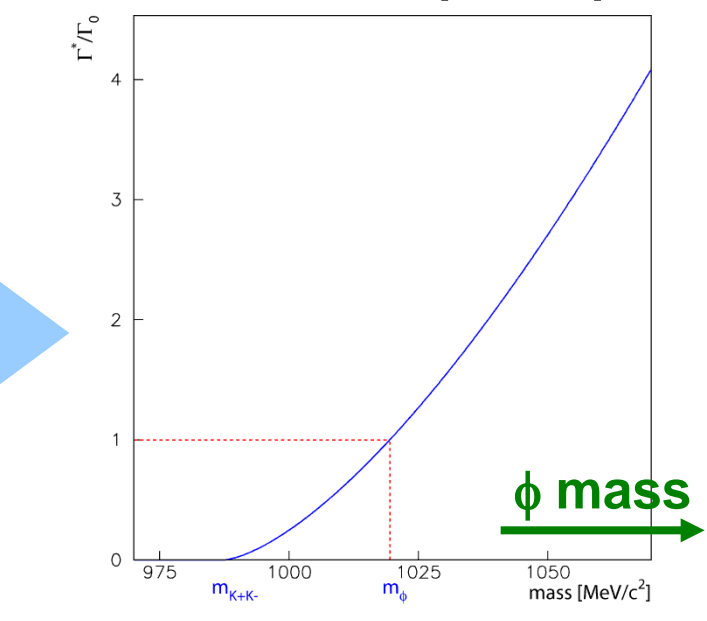
J.D.Jackson, Nuovo Cimento 34, 1644 (1964).

m_Kが変化しないと仮定

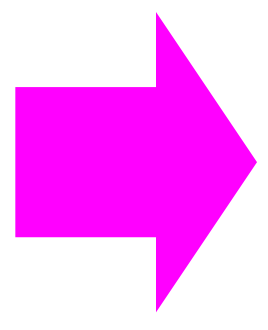
$$\Gamma^* / \Gamma_0 = (q/q_0)^3 (m_0/m^*)$$

$$q = \sqrt{m^{*2}/4 - m_K^2}$$

$$q_0 = \sqrt{m_0^2/4 - m_K^2}$$



- $m*/m_0 = 1 0.034(\rho/\rho_0)$ from $\phi \rightarrow e^+e^-$, PRL,98,042501(2007).
- m_Kが変化しないと仮定
- φ-mass=BW
- ー mod. mass<2m_Kのとき、∮→K+K⁻が suppressされると仮定

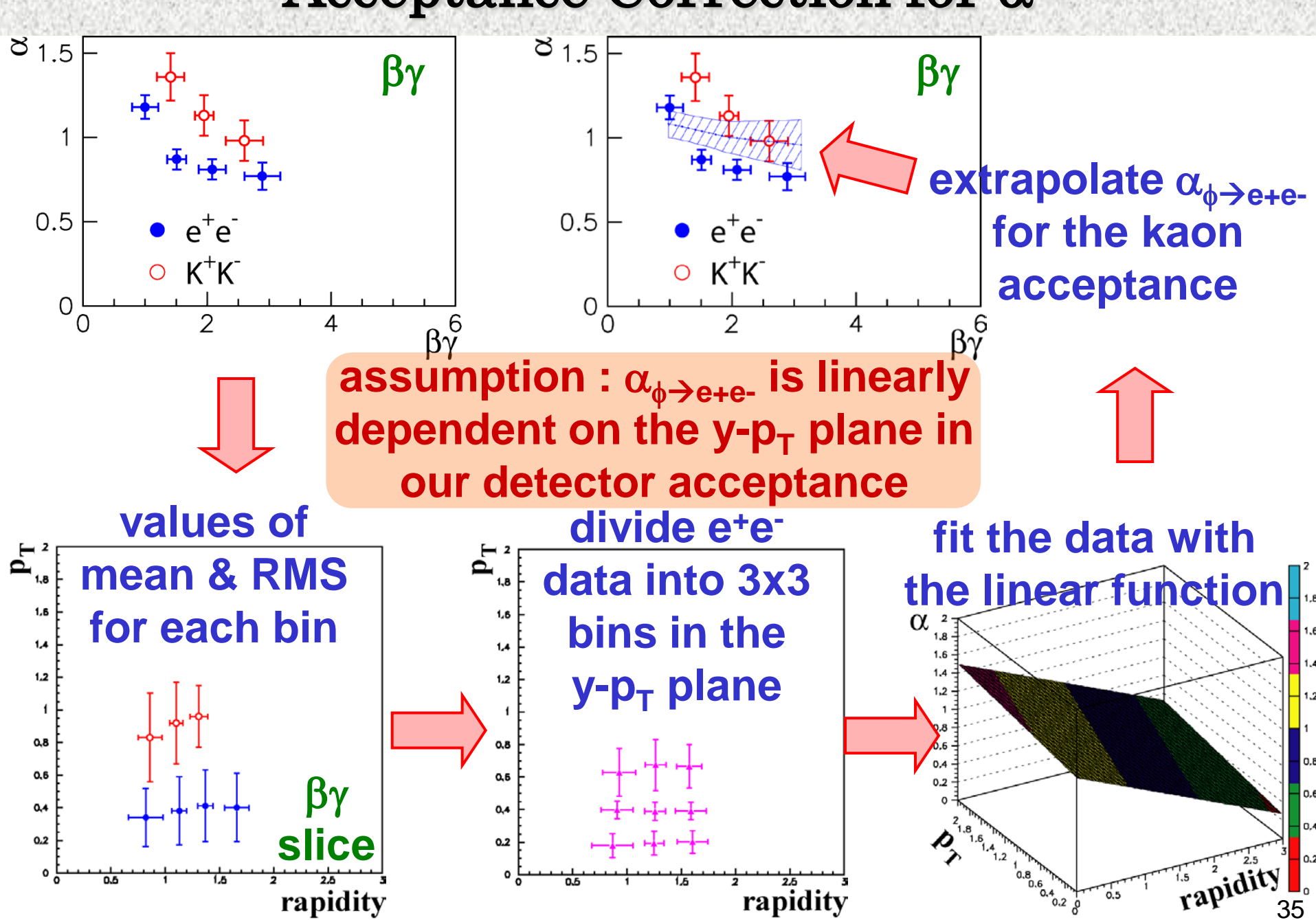


 $\Delta \alpha = -0.02$

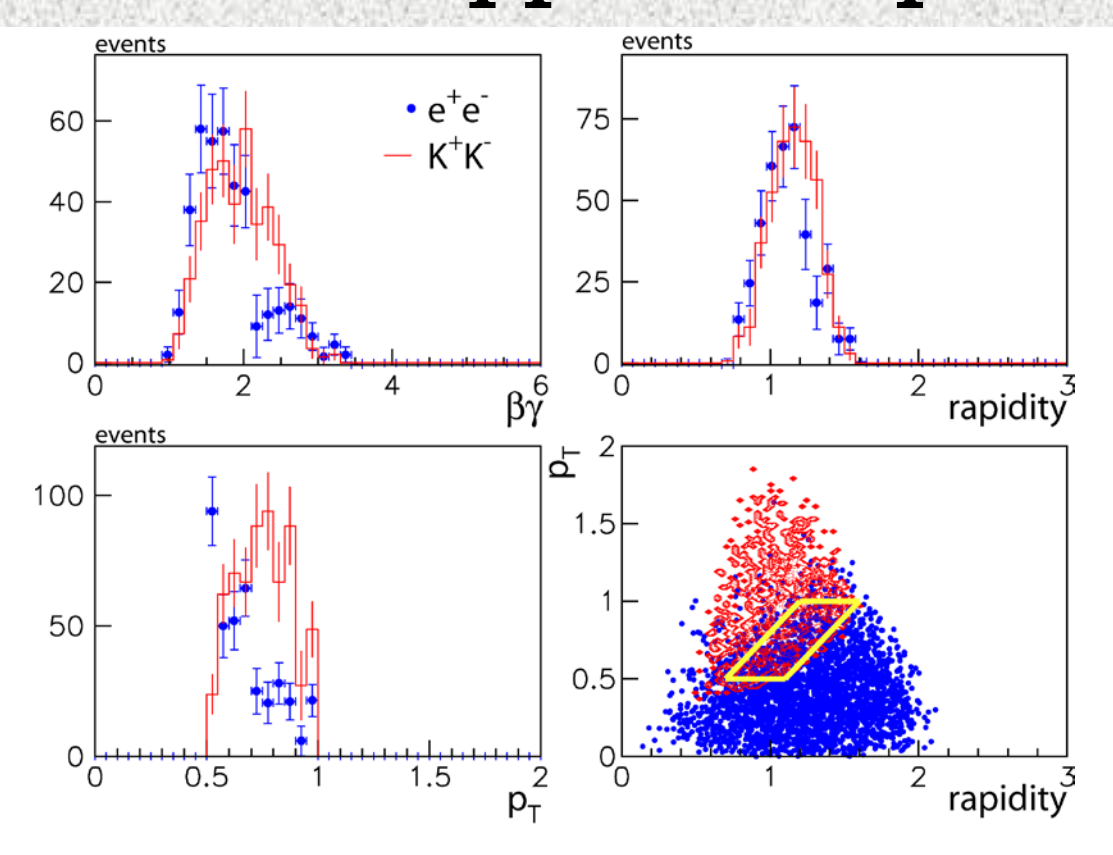
[K-acceptance]

元々の核内崩壊率が 低いために、小さな値

Acceptance Correction for a



α in overlapped acceptance



 $\phi \rightarrow e^+e^- : \alpha = 0.91 + /-0.10 + /-0.01$

 $\phi \rightarrow K^+K^- : \alpha = 1.10 + /-0.09 + /-0.02$

 $\Delta \alpha = 0.18 + / -0.14$

 $\alpha_{\phi \to K+K-}$ と $\alpha_{\phi \to e+e-}$ は統計の範囲で一致

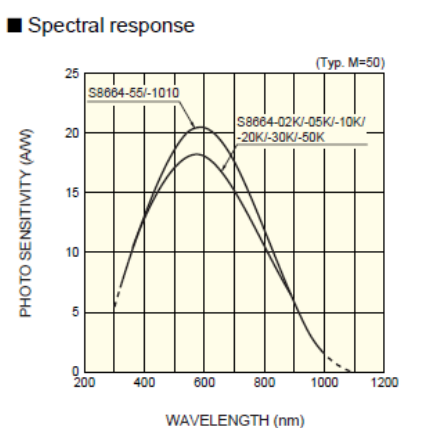
SIAPD Hamamatsu S8664

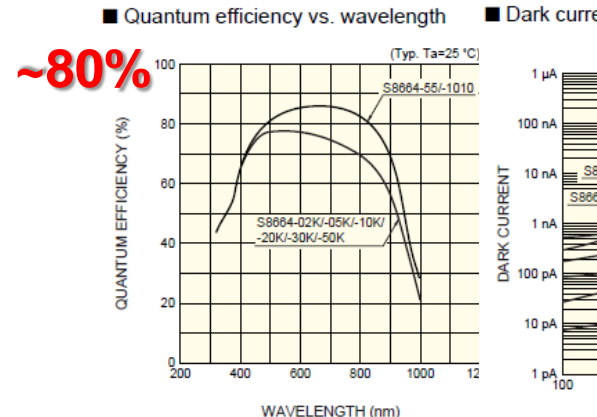
General ra	atings / Absolute	maximum ratings	S				
	Dimensional				Absolute maximum ratings		
Type No.	outline /Window	Package	Effective *2 active area size	Effective active area	Operating temperature Topr	Storage temperature Tstg	
mater	material *1		(mm)	(mm²)	(°C)	(°C)	
S8664-02K			φ0.2	0.03			
S8664-05K	①/K	TO-5	φ0.5	0.19			
S8664-10K	U/K	10-5	φ1.0	0.78		-55 to +100	
S8664-20K			φ2.0	3.14	-20 to +60	-55 to +100	
S8664-30K	@/IV	TO-8	φ3.0	7.0	-20 10 +60		
S8664-50K	②/K	10-8	φ5.0	19.6			
S8664-55	3/E	Ceramic	5 × 5	25		-20 to +80	
S8664-1010	@/F	Ceramic	10 x 10	100		-20 10 +60	

■ Flectrical and optical characteristics (Typ. Ta=25 °C, unless otherwise noted)

■ Liectifical	and op	tical crie	aracteris	sucs (1)	/μ. τα-	25 0	, unicoo	Outletw	1136 110	ieu)			
Type No.	Spectral response range λ	Peak *3 sensitivity wavelength λp	sensitivity S M=1	Quantum efficiency QE M=1 λ=420 nm	Velta VE	BR	Temperature coefficient of VBR	cur	rk * ³ rent D		Terminal *3 capacitance Ct		Gain M λ=420 nm
					Typ.	Max.		Тур.	Max.				
	(nm)	(nm)	(A/W)	(%)	(V)	(V)	(V/°C)	(nA)	(nA)	(MHz)	(pF)		
S8664-02K								0.1	1	700	8.0		
S8664-05K								0.2	1.5	680	1.6		
S8664-10K								0.3	3	530	4		
S8664-20K	320 to	600	0.24	70	400	500	0.78	0.6	6	280	11	0.2	50
S8664-30K	1000	000	0.24	70	400	300	0.76	1	15	140	22	0.2	30
S8664-50K								3	35	60	55		
S8664-55								5	50	40	80		
S8664-1010								10	100	11	270		

- *1: K: Borosilicate glass E: Epoxy resin
- *2: Area in which a typical gain can be obtained.
- *3: Values measured at a gain listed in the characteristics table.

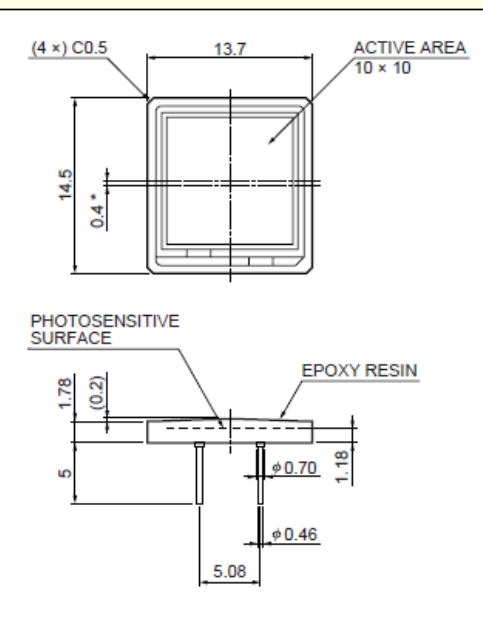




■ Dark current vs. reverse voltage

REVERSE VOLTAGE (V)

4 S8664-1010



■ Gain vs. reverse voltage

